

استخدام انحدار الحرف الموزون كأسلوب مقترن لمعالجة الشواذ والتداخل الخطي في التحليل التوسيطي

ا.م. د. بشار عبد العزيز الطالب
م. صالح مؤيد شاكر البقال
جامعة الموصل / كلية علوم الحاسوب والرياضيات

**Using Weighted Ridge Regression as A Proposed
Approach to Remedy Outlyingness and Multi-
Collinearity in Mediation Analysis**

Lec. Salih M. S. Al.b. Assist.Prof. Dr. Bashar A.Al_Talib
University of mosul / College of computer sciences and

٢٠١٦/٢/٢٢ تاريخ قبول النشر

٢٠١٥/١١/٢٢ تاريخ استلام البحث

المستخلص:

يتناول هذا البحث اقتراح استخدام أسلوب الحرف الحصين (الموزون) لمعالجة بعض المشاكل التي يعاني منها التحليل التوسيطى (Mediation Analysis) والتي تتضمن وجود بعض القيم الشاذة في المتغير التوضيحي أو المتغير التابع أو كلاهما معاً. فضلاً عن وجود مشكلة التداخل الخطى بين المتغير التوضيحي والمتغير التوسيطى والذي يؤدي بدوره إلى ظهور تقديرات غير دقيقة. لذا فقد تم اقتراح استخدام أسلوب الحرف الحصين من أجل معالجة التطرف الموجود في المشاهدات فضلاً عن معالجة التداخل الخطى الموجود بين المتغير التوسيطى والمتغير المستقل والتوصل إلى صيغة فعالة لمعالجة هذه المشاكل والحصول على حدود ثقة أكثر دقة مقارنة بحدود الثقة التي تم الحصول عليها باستخدام المربعات الصغرى الاعتيادية. وقد تم تطبيق الأسلوب المقترن من خلال دراسة محاكاة فضلاً عن تحليل بيانات حقيقة.

الكلمات المفتاحية: تحليل الوساطة، الانحدار الحصين، أسلوب الحرف الحصين.

Abstract:

In this paper we propose to use the Robust Ridge Regression procedure to deal with some problems that the Mediation analysis suffer from, these problems include the existence of some outlier points in the independent variable or dependent variable or both of them. As well as the existence of linear dependency between independent and Mediated variables which produce in turn the existence of in-accurate estimators. So the use of Robust Ridge Regression procedure is proposed to remedy the extremeness exist in the points, in addition to solve the Multi-Collinearity problem exists between the mediated and independent variable, and to obtain an active formula that address these problems. Furthermore getting more accurate confidence intervals compared with that of ordinary least squares method. The proposed procedure implemented through simulation study and real data analysis.

Keywords: Mediation Analysis, Robust Regression, Robust Ridge procedure.

المقدمة:

في كثير من الظواهر الموجودة في الطبيعة تكون هناك علاقات تبادلية (تأثير وتأثير) بين المتغيرات، وفي موضوع الانحدار يسمى المتغير المؤثر بالمتغير المستقل والذي نرمز له بـ X ، أما المتغير المتأثر (من قبل المتغير المستقل X) فيدعى بالمتغير التابع ويرمز له بـ y . ولكن السؤال الذي يتadar إلى الذهن هو كيف يرتبط هذان المتغيران ولماذا؟ فمثلاً إذا كان هناك متغير مستقل يمثل ظاهرة الفقر مع متغير تابع يمثل ظاهرة جنوح الإحداث، أو دراسة كيف ان العلاج النفسي يقلل حالة الاكتئاب. فمن خلال هذه الأمثلة يمكننا أن نفهم لماذا أن X و y مرتبطة من

خلال متغير ثالث وهو المتغير التوسيط (Mediator) والذي عادة ما يرمز له بالرمز M ، وبشكل أكثر دقة فإنَّ المتغير التوسيط هو المتغير الذي يتوسط السلسلة السببية التي تربط المتغير المستقل بالمتغير التابع أي أنَّ المتغير المستقل يؤثر في المتغير التوسيط والذي بدوره يؤثر في المتغير التابع (Guralnick, 1970).

عملية الوساطة Mediation Process

يمكن وصف عملية الوساطة بأنها سلسلة سببية تتضمن فكرة أن هناك متغيراً واحداً يؤثر على متغير ثانٍ والذي بدوره يؤثر على متغير ثالث. أن المتغير التوسيط والذي يرمز له بالمتغير M هو المتغير الذي يتوسط هذه العلاقة بين المتغير التباوي والمتغير التابع أو متغير المخرجات (Mackinnon & Fairchild, 2009).

وبشكل بياني يمكن توضيح عملية الوساطة بالرسم التوضيحي التالي:



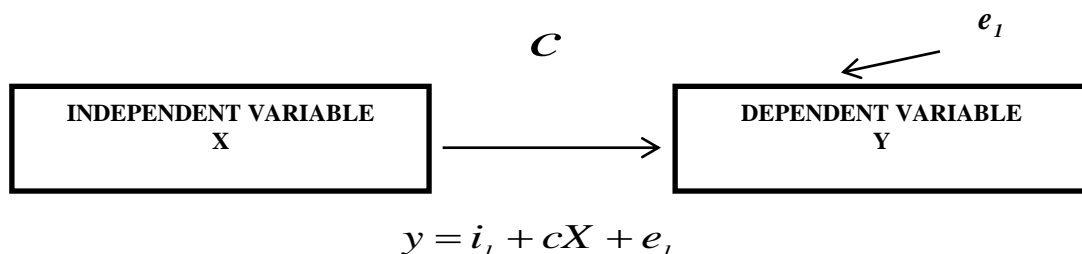
شكل رقم (١)

يوضح عملية الوساطة

مخطط نموذج الوساطة The Mediation Model Diagram

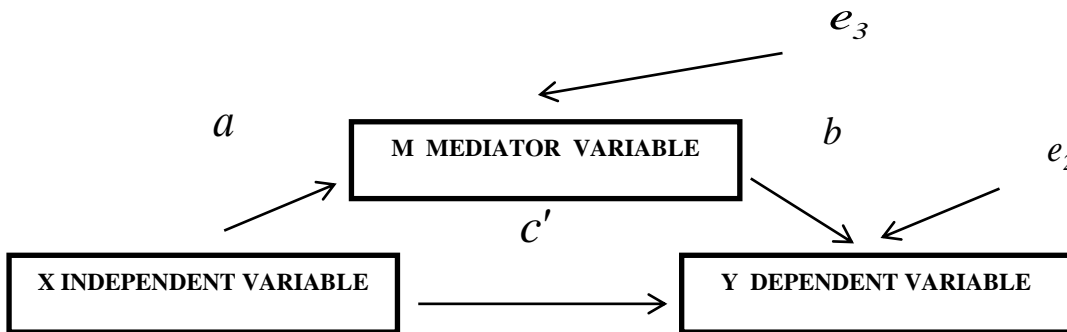
لإنجاز عملية تحليل الوساطة ينبغي توضيح النموذج التوسيط والذي يجب تحديده بشكل صحيح مسبقاً من حيث اتجاه العلاقة بين المتغيرات الثلاثة X و M و y . إذ يتم إنجاز عملية الوساطة من خلال استخدام مقدرات المربعات الصغرى للنماذج وكما هو موضح في المخطط التالي مع المعادلات المستخدمة للتقدير (Mackinnon, 2008) (Emily et al., 2015):

من المعادلة الرابطة للمتغير X مع المتغير y والموضحة في الشكل (٢)، إذ إنَّ e_1 يمثل الجزء غير مفسر من y من خلال علاقته مع المتغير X ، كما أنه يمثل نموذج التأثير الكلي، وذلك لأنَّه يمثل العلاقة الكلية بين المتغير X والمتغير y من دون المتغيرات الأخرى.



شكل رقم (٢): الشكل يوضح مخطط مسار معادلة نموذج الانحدار

أما الشكل (٣) فهو يمثل أنموذج الوساطة، إذ إنَّ المتغير المستقل X يرتبط بالمتغير التوسيطي M والذي بدوره يرتبط بالمتغير التابع y . كما انه يمثل أنموذج المتغير الثالث إذ هناك علاقة توسطية أساسية للمتغير X إلى المتغير M ثم إلى المتغير y . كما أن هناك علاقة للمتغير X مع المتغير y ولكن ليس من خلال المتغير M بل هناك تأثير مباشر من المتغير X إلى المتغير y (c'). كذلك يمكن ملاحظة أن هناك رموزاً فوق كل مسار يقابل كل علاقة، فمثلاً لعلاقة المتغير X مع المتغير M قد تم إعطاء الرمز a ، والعلاقة للمتغير M مع المتغير y بالرمز b ، وعلاقة للمتغير X مع المتغير y بالرمز c' .



$$y = i_2 + c' X + bM + e_2$$

الشكل رقم (٣) شكل يوضح مخطط مسار المعادلة لنموذج التوسطي

كما يمكن ملاحظة أن علاقة المتغير X مع المتغير y لها الرمز العلوي ($'$) والذي يطلق عليه b (العلاقة c') كي تعكس التعديل للمتغير التوسيطي في الشكل (٣) بينما لا يوجد هذا الرمز فوق المسار c في الشكل (٢) لأنَّه لم يعدل بالمتغير التوسيطي M . اما الحد e_2 يمثل الجزء العائد للمتغير y الذي لم يتم تفسيره من قبل X و M . والحد e_3 تمثل الجزء العائد للمتغير M الذي لم يوضح من خلال علاقته مع المتغير X .

معادلات الانحدار المستخدمة لتقدير الوساطة

في تقدير عملية الوساطة لنموذج وساطة بسيط يتم استخدام ثلاثة معادلات انحدار موضحة بالصيغة التالية (Mackinnon et al., 2002):

$$y = i_1 + cX + e_1 \quad \dots (1)$$

$$y = i_2 + c' X + bM + e_2 \quad \dots \quad (2)$$

$$M = i_3 + aX + e_3 \quad \dots \quad (3)$$

إذ إن y هو متغير تابع، و X متغير مستقل و M هو متغير توسطي، كما ان c تمثل العلاقة بين المتغير المستقل والمتغير التابع في المعادلة (1)، و c' تمثل المعلمة الرابطة للمتغير المستقل مع المتغير التابع والمكافحة بتأثير المتغير التوسطي M ، أما b فهي المعلمة الرابطة للمتغير التوسطي مع المتغير التابع المكيف بتأثير المتغير المستقل، أما المعلمة a فهي المعلمة الرابطة للمتغير المستقل مع المتغير التوسطي، و e_1 و e_2 و e_3 تمثل الأجزاء غير المفسرة في المعادلات أعلاه على التوالي، وان i_1 و i_2 و i_3 تمثل المقاطع (Intercepts).

التأثير الموسط :Mediated Effect

هناك أسلوبان لقياس التأثيرات التوسطية من نماذج الانحدار مستندة على الاستخدامات المختلفة للمعلمات a و b و c و c' . ويمثل حاصل الضرب (ab) مقدار التأثير التوسطي. ولكون المتغير X يؤثر على المتغير y بشكل غير مباشر من خلال المتغير M بذلك فان التأثير التوسطي معروف أيضاً كتأثير غير مباشر (indirect effect) (Peng & Tyler,2016). اما تأثير المتغير X على المتغير y بعد تكييفه (adjustment) بالمتغير M من خلال المسار c' فيعرف على انه التأثير المباشر. كما أن التأثير التوسطي أيضاً يساوي الفرق بين المعلمات c و $c' (c - c')$. ونتيجة لذلك فإن التأثير الكلي يمكن أن يحل إلى تأثير مباشر c' وتأثير غير مباشر $ab = c - c'$. إن التبرير المنطقي وراء مقدار الوساطة ab هي انها وساطة تعتمد على مدى كون المتغير المستقل يؤثر على المتغير التوسطي (المعلمة a) والمدى للمتغير التوسطي الذي يؤثر بدوره على المتغير المعتمد (المعلمة b). و تعكس الكمية ab كيف ان تغير وحدة واحدة في المتغير X يؤثر على المتغير y بشكل غير مباشر من خلال المتغير M .

الوساطة الكاملة والوساطة الجزئية :Complete and Partial Mediation

هناك نوعين من عملية الوساطة وهما الوساطة الكاملة والوساطة الجزئية. والمقصود بالوساطة الكاملة ان العلاقة التوسطية تكون علاقة ذات وساطة كاملة أي أن المعلمة c' غير معنوية عندما يكون المتغير التوسطي M ضمن النموذج كما في المعادلة (2).

اما الوساطة الجزئية فتحدث عندما تكون a و b معنويين، ففي هذه الحالة فان الوساطة تكون موجودة فضلاً عن ذلك إذا كانت c' أيضاً معنوية عندئذ يقال عنها وساطة جزئية (Fairchild & Mackinnon.,2009).

التأثير غير المباشر Indirect Effect

يعرف التأثير الغير المباشر بأنه قوة العلاقة بين المتغير X والمتغير Y والذي يتوسطهما المتغير الثالث M . إنَّ كمية أو مقدار الوساطة تدعى بالتأثير غير مباشر والذي يمكن وصفه من خلال علاقته مع التأثير الكلي والتأثير المباشر بالصيغة التالية:

التأثير الكلي

التأثير المباشر

التأثير غير المباشر

$$\text{Total Effect} = \text{Direct Effect} + \text{Indirect Effect}$$

$$c = c' + ab$$

اختبار النماذج التوسيعية Test of Mediation Models

بشكل عام هناك ثلاثة أساليب تم تقديمها لاختبار النماذج المتضمنة متغيرات توسيعية. يمثل الأسلوب الأول بأسلوب الخطوات السببية والذي اقترح من قبل (Judd & Kenny, 1981a; 1981b) وهو الأسلوب الأكثر استخداماً في أدبيات علم النفس، إذ يحدد هذا الأسلوب سلسلة من الاختبارات للروابط في السلسلة السببية. أما الأسلوب الثاني العام فهو الأسلوب الذي يتمثل بالفرق بين المعاملات وإن يتمثل بالفرق بين معامل الانحدار قبل وبعد تكيفه بالمتغير التوسيع (Freedman & Sckatzkin, 1992). وأخيراً يستند الأسلوب الثالث على حاصل الضرب بين المعاملات المتضمنة في مسارات النموذج التوسيع (Alwin & Hauser, 1975).

إنَّ الهدف الرئيسي من هذه الأساليب هو معرفة آلية أو ميكانيكية انتقال التأثير من المتغير التوضيحي إلى المتغير التابع، وتكون هذه الآلية من خلال المتغير التوسيع الذي يتوسط العلاقة بين هذين المتغيرين. وهو ما يعرف بالتأثير غير المباشر (Indirect Effect). وسوف يتم في هذا البحث اعتماد الأسلوب الثالث الذي يتمثل بحاصل الضرب بين المعاملات.

حدود الثقة لتأثير الوساطة: Confidence Intervals for the Mediated Effect

إنَّ تقدير تأثير الوساطة والخطأ القياسي لهُ يمكن أن يستخدم لتكوين حدود الثقة لتأثير الوساطة في المجتمع. وتستخدم حدود الثقة بشكل واسع كونها تتضمن الخطأ في المقدر، وبالتالي توفر مدى من القيم الممكنة للتأثير بدلاً من قيمة واحدة. وهناك توجه كبير جداً نحو إيجاد حدود الثقة (Harlow et al., 1997) والسبب في ذلك هو أن الباحثين يفترضون أنهم يلاحظون قيمة التأثير فضلاً عن المعنوية الإحصائية. إنَّ حدود الثقة الواسعة تعني عدم الدقة في قياس قيمة التأثير في المجتمع (Krantz, 1999). وقد بينما سابقاً أن المقدار \hat{ab} يعطي تقدير تأثير الوساطة. فضلاً عن ذلك فإن هناك عدة صيغ بديلة للخطأ القياسي للأخطاء التي يمكن استخدامها لتكوين حدود الثقة للتأثير غير المباشر ab . ويدعى الخطأ القياسي المستند على \hat{ab} بحاصل ضرب الخطأ

القياسي للمعاملات. وان هذه الصيغ يمكن أن تستخدم لتكوين حدود الثقة لتأثير الوساطة المستند على أساس المعاملات بأسلوب التوزيع المحاذي للتوزيع الطبيعي (Asymptotic) (Sobel, 1982) والذي وضحته (Normal Distribution) والتي يأخذ الصيغة التالية:

$$\text{Lower Confidence Limit (LCL)} = \hat{ab} - \text{critical Value}^*(S_{\hat{ab}}) \dots (4)$$

$$\text{Upper Confidence Limit (UCL)} = \hat{ab} + \text{critical Value}^*(S_{\hat{ab}}) \dots (5)$$

إذ إن مقدار التأثير التوسيط هو \hat{ab} . وان critical Value هي القيمة الحرجية المطلوبة لحساب حدود الثقة، وان $S_{\hat{ab}}$ هو مقدر للخطأ القياسي لتأثير الوساطة. إن الخطأ القياسي الأكثر استخداماً للأخطاء ($S_{\hat{ab}}$) هي صيغة تم اشتقاقها من قبل الباحث (Sobel, 1982) ومستندة على المشتقات الأولى باستخدام طريقة دلتا لمتعدد المتغيرات (Folmer, 1981). والصيغة الناتجة موضحة في أدناه إذ إن $S_{\hat{a}}^2$ و $S_{\hat{b}}^2$ هي مربع الخطأ القياسي للأخطاء \hat{a} و \hat{b} على التوالي: يمكن تطبيق أسلوب دلتا من خلال استخدام الصيغة التالية:

$$V(\hat{ab}) = D'VD \dots (6)$$

حيث أن D تمثل متوجه المشتقات الجزئية بالنسبة إلى المعلمتين \hat{a} و \hat{b} . أما V فتمثل مصفوفة التباين والتباين المشترك بين المعلمات \hat{a} و \hat{b} . بذلك ومن خلال تطبيق المعادلة (6) نحصل على:

$$Q = V(\hat{ab}) = \begin{bmatrix} \frac{\partial Q}{\partial \hat{a}} & \frac{\partial Q}{\partial \hat{b}} \end{bmatrix} \begin{bmatrix} S_{\hat{a}}^2 & \text{Cov}(\hat{a}, \hat{b}) \\ \text{Cov}(\hat{a}, \hat{b}) & S_{\hat{b}}^2 \end{bmatrix} \begin{bmatrix} \frac{\partial Q}{\partial \hat{a}} \\ \frac{\partial Q}{\partial \hat{b}} \end{bmatrix}$$

علمًا أن التباين المشترك بين \hat{a} و \hat{b} يساوي صفر (Tofighi et al., 2009).

بذلك فإن صيغة الخطأ القياسي لتأثير الغير مباشر تتمثل بالمعادلة التالية:

$$S_{(\hat{ab})} = \sqrt{\hat{a}^2 S_{\hat{a}}^2 + \hat{b}^2 S_{\hat{b}}^2} \dots (7)$$

وتوضح المعادلة (7) الصيغة المستخدمة لحساب التباين المشترك في كثير من برامج الحاسوب مثل برنامج EQS (Bentler, 1997) و MPLUS (Mackinnon et al., 2008) و برنامج LISREL (Joreskog & Sorbom, 2001) لحساب مقدرات الخطأ القياسي لتأثيرات الوساطة.

مشاكل التحليل التوسيطي Mediation Analysis Problems

إن المشاكل التي تعترض التحليل التوسيطي تتشابه مع المشاكل التي تعترض فروض الانحدار الخططي العام، إذ قد يحصل انتهاك لقسم من هذه الفروض من خلال وجود قيم شاذة في

المتغير المستقل أو المتغير التابع أو كلاهما معاً والذي بدوره ينعكس على متجه قيم الباقي وبالتالي الحصول على مقدرات متحيزه عن المعلمات الحقيقة للمجتمع. فضلاً عن ذلك قد يكون هناك انتهاك في فرض آخر وهو الاستقلالية بين المتغيرات التوضيحية والذي لا يمكن تلافيه خاصة في النموذج التوسيطى، والسبب في ذلك أنه بعد إجراء انحدار المتغير M على المتغير X يتم استخدام هذين المتغيرين كمتغيرين توضيحيين للتبؤ بالمتغير Y مما يؤدي إلى ظهور اعتمادية خطية بين المتغيرين X و M . ومثل هذه الاعتمادية تؤدي إلى نتائج غير دقيقة للمقدرات. وقد تم إجراء العديد من الدراسات حول هذه المشكلة والمسماة بـ“متعدد العلاقة الخطية” (Multi-*collinearity*) (Fisher & Mason, 1981).

وقد تناولت البحوث أساليب متعددة لمعالجة هذه المشكلة ومنها طريقة المكونات الرئيسية (Mansfeld, Webster & Gunst, 1977) (Principal Component) ومقدرات الحرف (Hoerl & Kennard, 1970a) (Ridge Regression).

إن التداخل الخطى أو الاعتمادية الخطية بين المتغير X والمتغير التوسيطى M يؤدي إلى انخفاض القوة لتحليلات الوساطة، إذ تعتمد قوة الاختبار على قوة الارتباط بين المتغير التوسيطى والمتغير التابع فضلاً عن ذلك فإنها تعتمد أيضاً على الارتباط بين المتغير المستقل والمتغير التوسيطى (Beasly, 2012).

وقد ناقش الباحثان (Hoyle & Kenny, 1999) قوة الاختبار للفرضيات بشكل مختصر كдалة للتداخل الخطى بين المتغير X والمتغير M . إذ بينما أن تغيرات أكثر في المتغير التوسيطى M من قبل المتغير التوضيحي X سوف يؤدي إلى تغير أقل من المتغير M إلى المتغير التابع y . أي عندما يكون المعامل a كبير في نقطة معينة فان b يمكن أن يقل. وبتعبير آخر وعلى فرض أن هناك مثلاً نادر الحدوث بأن يكون فيه المعامل $I = a$ في نموذج قياسي للمعادلة (3) إذ تكون المتغيرات في هذه الحالة قياسية، وعندها فإن المتغير X سوف تفسر المتغير M بنسبة ١٠٠% وبذلك فإن المتغير M لا يستطيع تفسير التغيرات في المتغير y بشكل واضح، أي أن b سوف تساوي صفر والسبب يعود للاعتمادية الخطية بين المتغيرين X و M .

إن الطريقة الشائعة التي تستخدم في تحليل الوساطة هي الطريقة الاعتيادية المتمثلة بالمربيعات الصغرى. فضلاً عن ذلك فإن الاختبارات المتعلقة بالتأثيرات لتحليل الوساطة والمتضمنة باختبار التأثير غير المباشر وحدود الثقة تستند جميعها على نتائج المربيعات الصغرى. وكما هو معلوم فإن أسلوب المربيعات الصغرى هو من الأساليب الدقيقة في حالة تحقق الفروض الأساسية للنموذج. إلا أنه عند عدم تتحقق هذه الفروض فإن أسلوب المربيعات الصغرى سوف يعني من مشاكل متعددة تختلف في تأثيرها حسب الفرض الذي تم انتهاؤه. ومن المشاكل الشائعة في معظم البيانات هي مشكلة التداخل الخطى بين المتغيرات التوضيحية والتي ربما تكون أكثر خطورة في

حالة وجود ارتباط خطي ضعيف مقارنة بالحالة التي يكون فيها الارتباط تام، والسبب في ذلك هو عدم الاهتمام من قبل الباحث بهذه المشكلة كون الارتباط ضعيف، مما يؤدي إلى التأثير على المقدرات وبيانات هذه المقدرات والذي يؤدي إلى التأثير على الاختبارات المعنوية للمقدرات وكذلك حدود الثقة لها. كما أن هناك نوعاً آخر من المشاكل التي قد تؤدي إلى انتهاك فرض آخر من فروض النموذج والتي هي مشكلة القيم الشاذة في البيانات (outliers) والذي يؤدي بالنتيجة إلى سلوك متوجه للأخطاء إلى توزيع غير التوزيع الطبيعي الذي يفترض أن $e_i \sim N(0, \sigma^2)$ (Rousseeuw & Leroy, 1987)، وهذه المشكلة تؤثر سلباً على المقدرات من حيث اجتذابها نحو القيم الشاذة والتي تؤثر بدورها على معنوية الاختبارات للمقدرات وكذلك حدود الثقة لها.

أسلوب انحدار الحرف الحصين:

تم في هذا البحث استخدام أسلوب الحرف الحصين المقدم من قبل (Askin and Montgomery, 1980) والمتمثل بالمعادلة التالية:

$$\hat{\beta}_{WR} = (X'WX + kI_k)^{-1} X'Wy \quad \dots \quad (8)$$

إلا أن استخدام هذا الأسلوب سيكون بشكل مختلف عن الأسلوب الذي استخدمه (Askin and Montgomery, 1980). إذ استخدم Askin مقدرات M الحصينة لمعالجة التطرف والتداخل الخطى، فضلاً عن ذلك فقد استخدم كلٌّ من (Pfaffenberger & Dielman, 1990) أسلوب الحرف الحصين من خلال الدمج بين خصائص (LAV(least Absolute value) ومقدر M العام المستند على مقدرات ابتدائية مثل مقدر S ومقدرات MM وطبقاً لها على الانحدار الخطى. كما قدم الباحثان (Samkar & Alpu, 2010) أسلوب الحرف الحصين باستخدام مقدرات M العام المستند على مقدرات ابتدائية مثل مقدر S ومقدرات MM وطبقاً لها على الانحدار الخطى. فضلاً عن ذلك فقد استخدم (Zahari et al., 2012) مقدر MM في انحدار الحرف ولكن على النموذج الخطى العام، كما استخدم (Pati et al., 2014) أسلوب انحدار الحرف الحصين ولكن من خلال استخدام Least Median Squares وقارنها مع المربيعات الصغرى وطريقة الانحراف المطلق الأصغر. وفي هذا البحث تم استخدام أسلوب الحرف الحصين المستند على مقدرات MM من حيث الأوزان ومن حيث تقدير معلمة الحرف k ، مع استخدام مقدارين للκفاءة النسبية لمقدرات MM كتحسين لمقدار الحرف الحصين ولكن على تحليل الوساطة من أجل تقدير التأثير التوسيعى وإيجاد حدود الثقة له ومقارنتها مع أسلوب المربيعات الصغرى وبيان مدى تفوق الطريقة المقترنة على نتائج التحليل التوسيعى. وبما أن الأسلوب هو دمج بين أسلوب الحرف ومقدرات MM فقد تم إعطاء رمز (Robust MM) RMM.

إنَّ تقدير التأثير غير المباشر أو التأثير التوسيعى يتمثل بالمقدار \hat{ab} وهو المعلمتان المقدرتان بالمعادلتين (2) و (3) على التوالي. لقد تم إتباع أسلوب المقدر الحصين MM من أجل

معالجة القيم الشاذة الموجودة في المتغير التوضيحي X ، إذ تم الحصول على المعلمة \hat{a} المقدرة بأسلوب حصين اي الحصول على المعلمة المقدرة \hat{a}_{MM} مع تباين هذا المقدر $S_{\hat{a}_{MM}}^2$. أما المعادلة (2) فقد تم تقدير معلماتها من خلال معالجة القيم الشاذة الموجودة في المتغير X وكذلك القيم الشاذة الموجودة في المتغير M (والتي جاءت أصلاً من القيم الشاذة الموجودة في المتغير X نتيجة انحدار المتغير M على المتغير X في المعادلة (3)) باستخدام أوزان تم الحصول عليها أيضاً من مقدرات MM ، أما معلمة الحرف k فقد تم تقديرها باستخدام أسلوب معدل لما اقترحه (Hoerl & Baldwin., 1975) وذلك باستخدام مقدرات MM وليس مقدرات المربعات الصغرى التقليدية وبذلك يتم الحصول على المعلمة المقدرة \hat{b}_{R+MM} مع تباين هذا المقدر $S_{\hat{b}_{R+MM}}^2$. وبذلك يتم الحصول على المقدرات \hat{a} و \hat{b} وتباينهما ولكن بشكل أكثر دقة من خلال معالجة الشواز والتداخل الخطي الموجود بين المتغيرات من خلال معادلة واحدة وبالتالي الحصول على مقدر التأثير التوسيطي ولكن بأسلوب الحرف الحصين \hat{ab}_{RMM} مع تباين المقدر $S_{\hat{ab}_{RMM}}^2$.

تقدير الحرف الحصين: Robust Ridge Estimation

يمكن توضيح مقدر الحرف الحصين لمعالجة الشواز والتداخل الخطي الموجود في المتغيرات X و M لمعادلة الانحدار (2). إذ انه من خلال النموذج الخطي العام والمتمثل بالصيغة التالية:

$$y = X\beta + \varepsilon \quad \dots \quad (9)$$

وعند وجود مشكلة عدم تحقق فرض تجانس تباين الخطأ عادة ما يتم استخدام أسلوب المربعات الصغرى الموزونة. إذ يتلخص هذا الأسلوب باستخدام أوزان محددة من أجل الحصول على مقدرات كفؤة وغير متحيزه وتمتلك خاصية كونها أفضل مقدرات خطية غير متحيزه(Best Linear Unbiased Estimate). إن أساس هذا الأسلوب يتضمن ضرب طرفي النموذج الخطي البسيط المتمثل بالمعادلة (9) بمصفوفة قطرية تتضمن في عناصر قطرها على الجذر التربيعي لهذه الأوزان وكما يلي (كاظم، ٢٠٠٢):

$$P^{-1}y = P^{-1}X\beta + P^{-1}\varepsilon \quad \dots \quad (10)$$

$$P^{-1} = \begin{bmatrix} \sqrt{w_1} & & & \\ & \sqrt{w_2} & & \\ & & \ddots & \\ & & & \sqrt{w_n} \end{bmatrix}, W^{-1} = (PP')^{-1} = \begin{bmatrix} w_1 & & & \\ & w_2 & & \\ & & \ddots & \\ & & & w_n \end{bmatrix}$$

علمًا أن

بذلك يمكن كتابة المعادلة (10) بالشكل التالي:

$$y^* = X^* \beta + \varepsilon^* \quad \dots \quad (11)$$

حيث أن

$$y^* = \sqrt{w} y, x^* = \sqrt{w} X, \varepsilon^* = \sqrt{w} \varepsilon \quad \dots \quad (12)$$

إن الفرض الأساسي المعتمد في إتباع طريقة المربيعات الصغرى الموزونة (WLS) هو:

$$E(e_i^2) = \sigma^2 e_i^* = \sigma^2 W^{-1}$$

علمًا بأن $E(S_e^2) = \sigma^2$ يمثل تباين العينة، أما (w_i) فما هي إلا عبارة عن أوزان (Weights) وبمعرفتها تكون مسألة التقدير والاختبار والتنبؤ بسيطة وممكنة.

إن النموذج الخطي العام الموضح في المعادلة (11) أعلاه يحقق الفروض الأساسية اللازمة لتطبيق طريقة المربيعات الصغرى وذلك لأن:

$$E(e^* e^{*\prime}) = \sigma^2 I_n \quad \dots \quad (13)$$

ذلك فإن

$$e^* \sim N(0, \sigma^2) \quad \dots \quad (14)$$

من خلال المعادلة (13) تتحقق فرضيتي تجانس تباين الخطأ وانعدام الارتباط الذاتي بين الأخطاء، وعليه فإن الفرضيات الأساسية الخاصة بنموذج الانحدار متحققة وبالتالي يمكن إتباع أسلوب المربيعات الصغرى لتقدير النموذج (11) للحصول على متوجه مقدرات المربيعات الصغرى الموزونة. إذ بعد التقاضل الجزئي بالنسبة إلى β ومساواتها بالصفر يتم الحصول على:

$$X^{*\prime} X^* \hat{\beta}_{WLS} = X^{*\prime} y^* \quad \dots \quad (15)$$

وبضرب طرفي المعادلة (15) بالمصفوفة $(X^{*\prime} X^*)^{-1}$ يتم الحصول على:

$$\hat{\beta}_{WLS} = (X^{*\prime} X^*)^{-1} X^{*\prime} y^* \quad \dots \quad (16)$$

إن المقدر أعلاه هو مقدر المربيعات الصغرى الموزونة، وهو مقدر غير متحيز للمعلمة الأصلية. أي إن:

$$E(\hat{\beta}_{WLS}) = \beta \quad \dots \quad (17)$$

بذلك فإنَّ مقدر المربعات الصغرى الموزونة هو مقدر غير متحيز للمعلمة الأصلية.
ومن أجل تقدير معلمات الحرف الحصين يتم إتباع الخطوات التالية:

من خلال المعادلة (15) فإنه في هذه المرحلة يتطلب الأمر كما هو معروف إضافة مصفوفة قطرية kI_k ذات بعد $p \times p$ إلى المصفوفة $(X^* X^*)$ قبلأخذ المعكوس لها وكما يلي (Hoerl & Kennard, 1970a)

$$(X^* X^* + kI_k) \hat{\beta} = X^* y^* \quad \dots \quad (18)$$

وبضرب طرفي المعادلة (18) بالمصفوفة $(X^* X^* + kI_k)^{-1}$ نحصل على:

$$\hat{\beta}_{WR} = (X^* X^* + kI_k)^{-1} X^* y^* \quad \dots \quad (19)$$

وبإرجاع كل من X^* و y^* إلى صيغتهم الأصلية وحسب المعادلة (12) يتم الحصول على:

$$\begin{aligned} \hat{\beta}_{WR} &= (X' \sqrt{w'} \sqrt{w} X + kI_k)^{-1} X' \sqrt{w'} \sqrt{w} y \\ \hat{\beta}_{WR} &= (X' W X + kI_k)^{-1} X' W y \end{aligned} \quad \dots \quad (20)$$

بذلك فإنَّ المعادلة (20) تمثل مقدر الحرف الحصين بالأوزان الترجيحية.

خواص مقدر الحرف الحصين:

١- التحيز Biasedness

إنَّ مقدر الحرف الحصين هو عبارة عن تحويل خططي لمقدر المربعات الصغرى الموزونة، وهذا التحويل يعتمد على X و y و W . أي أنهُ يمكن تعويض الحد الأيسر $X^* X^* \beta_{WLS}$ من المعادلة (15) بدلًا من y^* في المعادلة (20) لنجعل على:

$$\begin{aligned} \hat{\beta}_{WR} &= (X^* X^* + kI_k)^{-1} X^* X^* \hat{\beta}_{WLS} \\ \hat{\beta}_{WR} &= \tau \hat{\beta}_{WLS} \end{aligned} \quad \dots \quad (21)$$

حيث أن

$$\tau = (X^* X^* + kI_k)^{-1} (X^* X^*) \quad \dots \quad (22)$$

وبأخذ التوقع لطيفي المعادلة (21) نحصل على:

$$E(\hat{\beta}_{WR}) = \tau E(\hat{\beta}_{WLS})$$

ومن المعادلة (17) فإنَّ

$$E(\hat{\beta}_{WR}) = \tau \beta \quad \dots \quad (23)$$

أي أن مقدر الحرف الحصين متحيز للمعلمة الأصلية، وإن مقدار التحيز هو:

$$\tau = (X' W X + kI_n)^{-1} (X' W X)$$

٤- التباين Variance

ومن أجل إيجاد تباين مقدر الحرف الحصين، يتمأخذ التباين لطيفي المعادلة (21) أي أن:

$$\begin{aligned} Var(\hat{\beta}_{WR}) &= Var(\tau\hat{\beta}_{WLS}) \\ Var(\hat{\beta}_{WR}) &= Var(\tau(X^* X^*)^{-1} X^* y^*) \\ Var(\hat{\beta}_{WR}) &= Var(y^*) \tau(X^* X^*)^{-1} (X^* X^*) (X^* X^*)^{-1} \tau' \\ \therefore Var(\hat{\beta}_{WR}) &= \sigma_{WR}^2 \tau(X^* X^*)^{-1} \tau' \quad \dots \quad (24) \end{aligned}$$

٣- تقدير تباين العينة : Sample Variance Estimation

$$\begin{aligned} S_e^2 &= \frac{1}{n-k-1} e^{*'} e^* \\ S_e^2 &= \frac{1}{n-k-1} (y^* - X^* \hat{\beta}_{WR})' (y^* - X^* \hat{\beta}_{WR}) \end{aligned}$$

ومن خلال المعادلة (12) نحصل على:

$$\begin{aligned} S_e^2 &= \frac{1}{n-k-1} (\sqrt{W} y - \sqrt{W} X \hat{\beta}_{WR})' (\sqrt{W} y - \sqrt{W} X \hat{\beta}_{WR}) \\ S_e^2 &= \frac{1}{n-k-1} e_{B_{WR}}' W e_{B_{WR}} \\ S_e^2 &= \sigma_{WR}^2 \quad \dots \quad (25) \end{aligned}$$

بذلك ومن خلال المعادلة (20) يمكن حل مشكلتي التداخل الخطى ومشكلة القيم الشاذة في نفس الوقت. وقد تم تطبيق ذلك على أنموذج الوساطة، إذ تم تعويض المصفوفة W بأوزان تمأخذها من مقدرات MM الحصينة والتي تتميز بامتلاكها نقطة انهيار عالية تصل إلى 50% وكفاءة نسبية عالية في الوقت نفسه. أما قيمة معلمة الحرف k فقد تم استخدام اسلون الذي اقترحه (Hoerl & Baldwin., 1975) والذي يأخذ الصيغة التالية:

$$k = \frac{p S^2}{\hat{\beta}_{LS}' \hat{\beta}_{LS}}, \quad S^2 = \frac{(y - X \hat{\beta}_{LS})' (y - X \hat{\beta}_{LS})}{n-p-1}$$

إذ إن p هي عدد المتغيرات المستقلة. وقد تم في هذا البحث استخدام أسلوب MM بدلاً من أسلوب المربيعات الصغرى في تقدير معلمة الحرف k باستخدام الصيغة التالية:

$$k = \frac{p S_{MM}^2}{\hat{\beta}_{MM}' \hat{\beta}_{MM}}, \quad S_{MM}^2 = \frac{(y - X \hat{\beta}_{MM})' (y - X \hat{\beta}_{MM})}{n-p-1}$$

وبذلك ومن خلال المعادلات (9-20) ستتم معالجة التداخل الخطى الموجود بين المتغير X والمتغير M ، وكذلك معالجة القيم الشاذة الموجودة في المتغيرات وباستخدام معادلة واحدة.

مقدار MM (MM-Estimator)

قدم الباحث (Yohai, 1987) مقدر MM كمقدار محسن عن المقدر S . أي أن مقدر S يعتمد على مقدر Q . لذا في بادئ الأمر يجب توضيح مقدر S . أن المقدر S يتمثل نقطة انهايار (BDP) (Breakdown point) عالية تبلغ 50% ولكن على حساب الكفاءة النسبية. وقد وصف كل من (Olive & Hawkins, 2008) خاصية نقطة الانهايار العالية على أنها أصبحت تقليداً متبعاً وإنها لا تعد شرطاً كافياً للمقدر الحصين الجيد. وحقيقة الأمر أنه يجب ملاحظة قيمة نقطة الانهايار من حيث إنه إذا كان تأثير القيم الشاذة يمكن أن يكون غير محدد وعندما يعد ذلك انهاياراً في مقدار مقاومة المقدر لذلك القيم. لذلك فإنَّ كلاً من (Rousseeuw & Leroy, 1987) قدمو ثلاثة شروط يجب أن تتحققها دالة الهدف لمقدر S . والشرط المهم هو الشرط الثالث والذي كان يتضمن أن نقطة انهايار هذا المقدر تكون 50%. أي أن:

$$\frac{Q}{\rho(a)} = 0.5 \quad \dots \quad (26)$$

إذ إن $a^2 / \rho(a) = 6$. أن دالة الهدف المستخدمة في مقدر S هي واحدة من الدوال المرتبطة مع دالة الوزن $Bisquare$ لـ Tukey. اذ فرض كل من (Rousseeuw & Leroy, 1987) أن $Q = E\phi(\rho(e))$ هي $\rho(e) = E\Phi(\rho(e))$. والتي هي القيمة المتوقعة لدالة الهدف إذا تم افتراض أن e تمتلك توزيع طبيعي قياسي. لقد ذكر كل من (Rousseeuw & Yohai, 1984) عندما يكون ثابت التوليف $a = 1.547$ فعندها سوف يتحقق ذلك الشرط الثالث للمقدر S والذي هو أن نقطة انهايار S هي 50%. بذلك فإنَّ (BDP):

$$\begin{aligned} Q &= E\phi(\rho(e)) = \int_{-\infty}^{\infty} \rho(e) f(e) dx \\ &= 2 \int_0^{\infty} \rho(e) f(e) dx \Rightarrow 2 \int_0^{1.547} \rho(e) f(e) dx + 2 \int_{1.547}^{\infty} \rho(e) f(e) dx \\ \rho(e) &= \begin{cases} \frac{e^2}{2} - \frac{e^4}{2a^2} + \frac{e^2}{6a^2} & \text{if } |e| \leq a \\ \frac{a^2}{6} & \text{if } |e| > a \end{cases} \quad \text{علماً أن} \\ f(e) &= \frac{1}{\sqrt{2\pi}} e^{-\frac{e^2}{2}}, \therefore Q = 0.199 \quad \text{إذ إن} \end{aligned}$$

وبحسب المعادلة (26) فإنَّ $0.199 / \rho(1.547) = 0.498 \approx 0.50$. فإذاً قيمة ثابت التوليف a في دالة $Bisquare$ يمثل الثابت الذي بزيادته سوف تزداد الكفاءة النسبية للمقدر. ولكن إذا تم زيادة الثابت a سوف يؤدي إلى زيادة قيمة Q وبالتالي عند تطبيق المعادلة (26) التابعه لنقطة الانهايار سوف يكون الناتج أقل من 50%. بذلك فإنَّ زيادة الكفاءة

النسبية في مقدر S سوف يؤدي إلى النقصان في نقطة انهايـار المقدـر. ومن هـذا المنطق تم اقتراح مقدـر MM من قبل (Yohai, 1987). إذ إنـ هذا المقدـر يتم حسابـه من خـلال ثـلث مراحل وهـي:

المرحلة الأولى: يتم استخدام مقدـر ابتدـائي ذو نقطـة انهايـار عـالية والـذي يـرمز لهـ بـ $\tilde{\beta}$ (أـي مـثل مـقدـر S). علمـاً أنـ هـذا المـقدـر غير كـفـوء بـشكل كـافـ. باـستخدام هـذا المـقدـر فإنـ الأـخطـاء التـابـعة لهـ سوف تـحسب من خـلال $e_i(\tilde{\beta}) = y_i - x_i' \tilde{\beta}$.

المرحلة الثانية: يتم استخدام أـخطـاء المـقدـر $\tilde{\beta}$ والـتي هي $((e_1(\tilde{\beta}), \dots, e_n(\tilde{\beta}))'$ S والتي يـرمز لها بالـرمـز S_n . وأنـ دـالة الـهدـف المستـخدمـة في هـذه المـرـحـلة يتم الرـمز لها بـ ρ_0 .

المرحلة الثالثـة: في هـذه المـرـحـلة يتم إـيجـاد مـقدـر MM من خـلال

$$\sum_{i=1}^n x_{ij} \psi_j \left(\frac{y_i - x_i' \beta}{S_n} \right) = 0 \quad j = 1, \dots, p$$

$$\psi_j(e) = \frac{\partial \rho_j(e)}{\partial e} \quad \text{إـذ إنـ}$$

أنـ دـالة الـهدـف ρ في هـذه المـرـحـلة يجب أنـ لا تكون نفس دـالة ρ_0 ، ولكنـ يجب أنـ تـحقق الشـروـط التـالـية:

- ١ - ρ تكون مـتمـاثـلة وهي دـالة قـابلـة لـلاـشـتقـاق وـمسـتـمرـة، وـان $\rho'(0) = 0$.
- ٢ - إـذ إنـ $a < 0$ تـزـاد تـامـاً عـند الفـترة $[0, a]$ وـثـابتـة عـند الفـترة (a, ∞) .
- ٣ - $\rho_j(e) \leq \rho_0(e)$.

إنـ المـرـحلـتين الأولى والـثـانـية تكون مـخـصـصة لنـقطـة انـهاـيـار مـقدـر MM والـتي تـبلغ 50%， بينما المـرـحلـة الثالثـة تـهـدـف إـلى كـفاءـة نـسبـية عـالـية لـالمـقدـر. لـقد اـثـبـتـ كلـ من (Hadi and Simonoff, 1993; Yohai, 1987) أنـ نقطـة انـهاـيـار مـقدـر MM تـعـتمـد عـلـى اختيار ثـابتـ التـولـيفـ في أولـى مـرـحلـتين، بينما الكـفاءـة النـسـبـية لـالمـقدـر تـعـتمـد عـلـى ثـابتـ التـولـيفـ في المـرـحلـة الثالثـة. لـذلك وـخلـافـاً لـمـقدـر M فإنـ نقطـة الانـهاـيـار والـكـفاءـة النـسـبـية لـمـقدـرات MM تكون مستـقلـة الـواحدـة عـنـ الآخـرى. إذـ بـينـما نقطـة الانـهاـيـار تـبـقـى ثـابتـة عـند 50% فإنـ الكـفاءـة النـسـبـية يـمـكـن أنـ تـقـربـ إـلـى الـواحدـ الصـحـيحـ وهيـ الـحـالـةـ المـثـالـيةـ (Bianco et al., 2005).

وـقدـ نـاقـشـ الـبـاحـثـ (Yohai, 1987) خـطـورـةـ اختـيـارـ ثـابتـ التـولـيفـ العـالـيـ فيـ المـرـحلـةـ الثـالـثـةـ منـ اـجـلـ الحصولـ عـلـىـ كـفاءـةـ نـسـبـيةـ عـالـيةـ، والـذـيـ عـادـةـ يـسـتـخـدـمـ ثـابتـ التـولـيفـ بـمـقـدـارـ $a = 4.24$ لـلـحـصـولـ عـلـىـ كـفاءـةـ نـسـبـيةـ تـبـلـغـ 95%. فـيـ حـينـ أنـ مـقدـر MM سـوفـ تـبـقـىـ نقطـةـ انـهاـيـارـ ثـابتـةـ كماـ حدـدتـ فيـ أولـىـ مـرـحلـتينـ. ولـذلكـ فـانـ مـقدـر MM سـوفـ يـنـهـارـ فعلـاًـ وـيـكـونـ أـكـثـرـ حـسـاسـيـةـ لـلـشـوـازـ وـأـقـلـ حـصـانـةـ مـقارـنةـ بـحـالـةـ كـونـهـ يـمـتـازـ كـفاءـةـ نـسـبـيةـ أـقـلـ. كـماـ اـثـبـتـ الـبـاحـثـ (Stuart, 2011) أنـ مـقدـرات MM تكونـ أـكـثـرـ حـصـانـةـ معـ نقطـةـ انـهاـيـارـ 50%ـ فيـ حـالـةـ جـعلـ الكـفاءـةـ النـسـبـيةـ أـقـلـ مـنـ 95%， إـذـ يـتـمـ تـقـليلـ الكـفاءـةـ النـسـبـيةـ مـنـ خـلالـ تـقـليلـ ثـابتـ التـولـيفـ لـدـالةـ

الهدف في المرحلة الثالثة. وسيتم في هذا البحث اختيار ثابت التوليف $a = 3.42$ وكذلك $a = 4.24$ للحصول على كفاءة نسبية 84.7% و 95% على التوالي والمقارنة بينهما.

مقاييس التقييم :Evaluation Measurement

تم تقييم المقدرات من خلال ما يلي:

١ - سعة حدود الثقة Width of confidence intervals : ويقصد به المسافة بين الحد الأعلى والحد الأدنى لحدى الثقة، إذ كلما كان السعة قليلة كلما كان ذلك أفضل (Preacher and Selig,2012).

٢ - التغطية Coverage : المقصود باللغطية نسبة المقدرات التي تقع ضمن الحدود، وعندما تكون نسبة الخطأ من النوع الأول 0.05 فهذا يعني ان المعلمة الحقيقية يجب أن تكون ضمن حدود الثقة 95 مرة من أصل 100 حتى تكون التغطية جيدة. علماً أن التغطية والسعنة لحدود الثقة يكونان متعارضين، وذلك لأنَّ كلما كانت حدود الثقة ضيقة كلما كان ذلك أفضل ولكن هذا الضيق سوف ينعكس سلباً على التغطية؛ لأنَّ في هذه الحالة ستكون التغطية أقل لضيق هذه الحدود (Preacher and Selig,2012).

٣ - القوة Power : المقصود بالقوة هي قوة الاختبار Power of the test أي هي احتمالية رفض فرضية عدم عندما تكون خاطئة، إذ كلما كانت هذه الاحتمالية عالية كلما كان ذلك أفضل (Beasley,2012).

٤ - التحيز للمعلمة المقدرة عن المعلمة الحقيقة Bias : المقصود بالتحيز هو الفرق بين المعلمة المقدرة والمعلمة الحقيقة (Pati et al.,2014).

٥ - الجذر التربيعي للانحراف القياسي للتحيز Root Standard deviation of Bias : هو مربع الفرق بين المعلمة المقدرة من كل عينة من عينات مونتي كارلو والمعلمة الحقيقة ثم جمع هذه الفروق المربعة واخذ الجذر التربيعي لها. وكلما كان هذا المقياس أقل كلما كان ذلك أفضل (Pati et al.,2014).

٦ - الجذر التربيعي لمتوسط مربعات الخطأ Root Mean Squares error : هو الجذر التربيعي لمتوسط مربعات الأخطاء لنموذج الانحدار الكلي. وكلما كان هذا المقياس أقل كلما كان ذلك أفضل (Lawrence et al.1990).

٧ - الكفاءة Efficiency : يقصد بالكفاءة قسمة الجذر التربيعي للانحراف القياسي للتحيز المستخرج بالخطوة (٥) لأسلوب المربعات الصغرى على الجذر التربيعي للانحراف القياسي للتحيز لأسلوب الحرف الحصين. وكلما كان هذا المقياس أكبر من الواحد الصحيح كلما دل ذلك على كفاءة الأسلوب المقترن مقارنةً بالمربعات الصغرى (Pati et al.,2014).

أساليب الكشف عن القيم الشاذة:

يوجد العديد من أساليب الكشف عن وجود القيم الشاذة في البيانات ذكر منها:

- ١ - استخدام أسلوب الرسم الصندوقى **Boxplot** للكشف عن القيم الشاذة الموجودة في المتغير التابع y .

يتتألف هذا الرسم من خمسة مكونات وهي,(Carter et al.2009)

- الوسيط (Median)
- الربع الأول والربع الثالث وللذان يقعان على نهايتي الصندوق من الأعلى والأسفل على التوالي.
- قيم نقاط البيانات التي تقع مجاور الأسيجة (fences) العليا والدنيا.
- الشاربان (whiskers) وللذان يوصلان بين النهايات للصندوق وبين الأسيجة.
- القيم الشاذة التي تقع خارج حدود الأسيجة.

وسينتم توضيح الرسم بالجانب العملي وكيفية الكشف عن القيم الشاذة.

٢ - أسلوب **MVE** (Minimum Volume Ellipsoid)

قدم الباحث (Rousseeuw,1983) أسلوب حجم القطع الناقص الأصغر MVE (Minimum Volume Ellipsoid) لتحديد القيم الشاذة لمصفوفة من المتغيرات. ففي التحليل الحصين فإنَّ مقدار أصغر قطع ناقص (MVE) غالباً ما يستخدم لتقدير الموقف والتشتت في متعدد المتغيرات. إذ يعرف مقدار MVE لمصفوفة التباين المشترك على انه اصغر قطع بيضاوي يحوي نصف المشاهدات بينما تقدير الموقع في (MVE) فهو نقطة الوسط لذلك الشكل البيضاوي. إنَّ العمل بخوارزمية مقدر MVE تتلخص من خلال اختيار عدد من العينات الجزئية مساوي إلى C_{p+1}^n من مصفوفة البيانات الأصلية. بعد ذلك يتم حساب قيمة الأوساط الحسابية $\mu_{(j)}$ ومصفوفة التباين المشترك $\sum_{(j)}$ لكل عينة جزئية (j) بحجم $1 + p$. ثم يتم حساب المسافات التربيعية وفق المعادلة التالية:

$$D_j^2 = (x_i - \mu_j)' \sum_j^{-1} (x_i - \mu_j)$$

يتم اختيار أفضل عينة جزئية (j) من خلال العينة التي تمتلك اصغر دالة هدف والتي تمثل بالمعادلة التالية:

$$\tilde{J} = \arg \min \det \sum_j D_{(hp)(j)}^2$$

العينة التي تمتلك أصغر دالة هدف يتم حساب μ و \sum لها. تعاد الخطوات أعلاه وبزيادة مشاهدة واحدة لكل مرحلة إلى أن نصل إلى حد التوقف وهو حد الوصول إلى حجم العينة الجزئية (np) إذ تكون هذه العينة متجانسة ومتسبة وتتجه نحو المركز. يجري استخراج متوجه الأوساط ومصفوفة التشتت والتي من خلالها تستخرج المسافات

التربيعية الحصينة وتشخص من خلالها المشاهدات الشاذة للعينة المستخرجة (وهي المشاهدة التي تزيد قيمة المسافة الحصينة لها عن قيمة $\chi^2_{n,1-\alpha/2}$) (٢٠١٠ ، لقاء وأفراح). كما يمكن أن يعطي هذا الأسلوب توضيحاً رسمياً حول القيم المتطرفة في البيانات من خلال تقسيم مربع الرسم إلى أربع أجزاء . فالجزء الأيمن العلوي يظهر به القيم الشاذة مع رقم الصف الذي توجد به هذه القيم في المتغيرات . وسيتم توضيحاً ذلك بشكل أكثر في الجانب العملي .

أساليب الكشف عن التداخل الخطي:

هناك عدة أساليب للكشف عن التداخل الخطي سيتم استخدام البعض منها .

١ - أسلوب الارتباط الثنائي بين المتغيرات: فمن خلال مصفوفة الارتباط بعد تحويل المتغيرات إلى الصورة القياسية . إذ يتم تحديد قيمة معامل الارتباط التي تدل على وجود ارتباط معنوي بين متغيرين من خلال اختبار t (المشهداني وهرمز ، ١٩٨٩) .

٢ - أسلوب العدد الشرطي (C.N.): إذ يتمثل هذا الأسلوب بإيجاد الجذور المميزة لمصفوفة الارتباط بين المتغيرات ، ومن ثم تقسم أكبر جذر مميز على أصغر جذر مميزة (Belsley et al., 1980). أي أن

$$C.N. = \frac{\text{Max } \ell_i}{\text{Min } \ell_i} \quad \dots \quad (27)$$

إذا كانت قيمة العدد الشرطي تساوي الواحد الصحيح فهذا يدل على استقلالية المتغيرات فيما بينها ، أما إذا كانت أكبر فهذا يدل على وجود تعدد علاقة خطية بين المتغيرات . وقد وضح Belsley أن التداخل الخطي الضعيف تكون عنده قيمة العدد الشرطي من ٥ إلى ١٠ ، أما التداخل الخطي المعتدل إلى القوي تكون قيمة العدد الشرطي من ٣٠ إلى ١٠٠ (Lawrence & Arthur, 1990) .

٣- اختبار Farrar-Glauber : إذ يستند هذا الاختبار على الإحصاء χ^2 إذ يتم اختبار الفرضية التالية (٢٠٠٢ ، كاظم) :

$$H_0 : (x_j) \text{ Orthogonal} , H_1 : (x_j) \text{ Not Orthogonal} \\ \chi^2_0 = -[n - 1 - \frac{1}{6}(2 * p + 5)] * \ln(D) \quad \dots \quad (28)$$

هو حجم العينة و p تمثل عدد المتغيرات المستقلة . وان $\ln(D)$ تمثل اللوغاريتم الطبيعي لمحدد مصفوفة معاملات الارتباط بين المتغيرات ثم يتم مقارنة χ^2_0 المحسوبة مع الجدولية بدرجة حرية $(p-1)/2$ ومستوى معنوية معين . فإذا ظهر أن القيمة المحسوبة أكبر من الجدولية فهذا يعني أن هناك تداخلاً خطياً بين المتغيرات .

الجانب العملي:

لقد تم في هذا الجانب إجراء تطبيقين، الأول هو أسلوب محاكاة والثاني هو التطبيق على بيانات حقيقة.

أ- أسلوب المحاكاة:

تم تطبيق أسلوب المحاكاة على بيانات تم توليدها عشوائياً. إذ تم توليد المتغير المستقل X عشوائياً باستخدام التوزيع الطبيعي القياسي، كما تم توليد متوجه الأخطاء التابع إلى معادلات الانحدار (2) و(3) وفق التوزيع الطبيعي القياسي أيضاً. وقد تم استخدام أربعة أحجام من حجم التأثير وهي الصفر والحجم الصغير والمتوسط والكبير (Zhang & wang,2007). أي أن $Zero : a = b = 0, Small : a = b = 0.14, Medium : a = b = 0.39, Large : a = b = 0.59$ وتم توليد أربعة أحجام من العينات وهي (25,50,100,500) وبنسبة تلويث (0%,5%,20%,40%) لكل من المتغير المستقل والتوضيقي وبوساطة كاملة أي أن $c' = 0$ ، إذ إن النتائج لن تختلف عن حالة تعويض $c' \neq 0$ كما بين (Mackinnon et al.,2004). وتم استخدام مستويين من الكفاءة وهي 95% و 87.4%. وبذلك سيكون هناك 128 تركيبة من المقدرات (4 أحجام عينات \times 4 مستويات من التلويث \times 4 مستويات من حجم التأثير \times 2 مستوى من الكفاءة). تم استخدام أسلوب مونتي كارلو بـ 1000 تكرار لكل تركيبة.

النتائج:

نظراً لكثره الجداول والبالغ عددها 218، فقد تم عرض الجداول التي توضح أعلى نسبة تلويث والبالغة 40% لكل عينة من أجل توضيح مدى مقاومة الأسلوب المقترن لظاهرة الشواذ العالية، وكذلك عرض جداول توضح أعلى مستوى للتأثير من أجل بيان مدى معالجة الأسلوب المقترن لظاهرة التداخل الخطي بين المتغير التنبؤي والمتغير التوضيقي. كما تم عرض جدول لمتوسط جميع الجداول ولجميع التراكيب. والجدول المعروضة تضمنت عرض النتائج في الحالتين التي يكون فيها ثابت التوليف $a = 4.24$ ومرة أخرى $a = 3.42$ من أجل توضيح زيادة الكفاءة النسبية للمقترح عند تقليل ثابت التوليف a .

في بادئ الأمر سيتم ملاحظة الجدول (١) أدناه والذي يتضمن النتائج التابعة لحجم العينة $n=25$. إذ نلاحظ إن مقدر RMM قد أظهر تفوقه على مقدر OLS ولجميع المقاييس. إذ إن مقياس السعة للمقدر RMM كانت أقل من OLS لحدود الثقة التابعة لهما. كما أن حدود الثقة لـ RMM ظهرت معنوية لعدم احتواها على الصفر في حدودها، بينما مقدر OLS كان يحتوي على الصفر في حدوده مما يدل على عدم معنوية التأثير التوضيقي، مع أن في عملية توليد البيانات تم جعل المتغير M متغير توضيقي من خلال إدخاله في السلسلة السببية بين X و y ، وبوساطة كاملة. أما في مقياس قوة الاختبار فقد امتنك مقدر RMM قوية أكثر من OLS وفي

كلتا الحالتين من نسبة التلوث ومستوى التأثير وفي كلا المستويين من الكفاءة النسبية. أما مقياس التغطية فقد أظهر مقدر OLS تغطية أكثر من RMM ولكن هذا لا يُعدّ قصوراً على المقدار RMM إذ إنّ وكما تم توضيح ذلك في تقييم حدود الثقة، أن مقياس السعة ومقياس التغطية هما مقياسان متعارضان ولكن من المفضل هو أن تكون سعة حدود الثقة أقل سعة من أجل الحصول على مقدر أكثر دقة (Krantz, 1999). أما مقاييس التحيز والجذر التربيعي للتحيز والجذر التربيعي لمتوسط مربعات الخطأ فقد اظهر مقدر RMM أيضاً تفوقه على OLS. أما مقياس الكفاءة فقد كان مقدر RMM أكثر كفاءة من مقدر OLS، كما أن الكفاءة زادت بشكل أكثر عند استخدام ثابت التوليف $a = 3.42$ بالنسبة إلى المقدار RMM الحصين.

اما الجدول (٢) أدناه وعند حجم العينة $n=50$ فان مقدر الحرف الحصين كان الأفضل مقارنة بالمربيعات الصغرى، والنتائج في الجدول أدناه مماثلة إلى النتائج في الجدول (١) مع فارق واحد في الجدول (١) إذ إنّ الكفاءة النسبية لمقدر الحرف الحصين كانت أعلى من المربيعات الصغرى عند مستوى حجم التأثير 0.59، ولكن عند ثابت التوليف $a = 3.42$ كانت أقل من ثابت التوليف $a = 4.24$ ولكن هذا لا يعني أن مقدر OLS أفضل من مقدر RMM وذلك لأن في جميع الحالات كانت الكفاءة النسبية للمقدار RMM أعلى من المقدار OLS.

جدول رقم (١) حجم العينة n=25								
	على مستوى التلوث 40% عند ثابت التوليف constant=4.24				على مستوى التلوث 40% عند ثابت التوليف constant=3.42			
Method	OLS		RMM		OLS		RMM	
Boundary	Lower	Upper	Lower	Upper	Lower	Upper	Lower	Upper
Conf.Interv.(CI)	-332.8	304.35	0.136	0.511	-553.1	500.20	0.110	0.539
Width of CI	637.2		0.375		1053.3		0.428	
Coverage	0.994		0.403		0.9945		0.394	
Power	0.005		0.730		0.0055		0.747	
Bias	14.386		-0.194		26.628		-0.195	
RootMSE($\hat{\beta}$)	419.39		0.2991		1448.81		0.301	
RootMSE	3612.78		0.888		13251.8		4.714	
Efficient	1378.108				4931.295			
	على مستوى التأثير 0.59 عند ثابت التوليف constant=4.24				على مستوى التأثير 0.59 عند ثابت التوليف constant=3.42			
Method	OLS		RMM		OLS		RMM	
Boundary	Lower	Upper	Lower	Upper	Lower	Upper	Lower	Upper
Conf.Interv.(CI)	-260.4	254.2	0.206	0.797	-246.6	257.8	0.219	0.777
Width of CI	514.741		0.591		504.49		0.558	
Coverage	0.971		0.628		0.974		0.609	
Power	0.097		0.772		0.102		0.783	
Bias	3.422		-0.153		-5.281		-0.150	
RootMSE($\hat{\beta}$)	616.40		0.279		544.95		0.282	
RootMSE	7909.80		1.3431		7399.9		0.830	
Efficient	1930.367				1706.489			

جدول رقم (٢) حجم العينة n=50								
	على مستوى التلويث 40% عند ثابت التوليف Tuning constant=4.24				على مستوى التلويث 40% عند ثابت التوليف Tuning constant=3.42			
Method	OLS		RMM		OLS		RMM	
Boundary	Lower	Upper	Lower	Upper	Lower	Upper	Lower	Upper
Conf. Interv.(CI)	-1168.4	924.3	0.168	0.485	-6197.8	3186.8	0.181	0.481
Width of CI	2092.815		0.354		9384.69		0.299	
Coverage	0.997		0.354		0.997		0.320	
Power	0.002		0.766		0.002		0.782	
Bias	122.14		-0.197		1505.5		-0.201	
RootMSE($\hat{\beta}$)	5698.35		0.267		53827.3		0.268	
RootMSE	89522.57		0.855		408384.6		0.808	
Efficient	21673.98				168418.7			
	على مستوى التأثير 0.59 عند ثابت التوليف Tuning constant=4.24				على مستوى التأثير 0.59 عند ثابت التوليف Tuning constant=3.42			
Method	OLS		RMM		OLS		RMM	
Boundary	Lower	Upper	Lower	Upper	Lower	Upper	Lower	Upper
Conf. Interv.(CI)	-131.6	114.7	0.298	0.715	-169.2	144.78	0.304	0.708
Width of CI	246.360		0.417		313.99		0.404	
Coverage	0.977		0.550		0.976		0.522	
Power	0.231		0.956		0.237		0.944	
Bias	8.796		-0.158		12.55		-0.158	
RootMSE($\hat{\beta}$)	221.82		0.240		379.0		0.243	
RootMSE	1933.6		0.838		3379.6		0.7802	
Efficient	767.5192				1277.914			

جدول رقم (٣) حجم العينة n=100								
	على مستوى التلويث 40% عند ثابت التوليف Tuning constant=4.24				على مستوى التلويث 40% عند ثابت التوليف Tuning constant=3.42			
Method	OLS		RMM		OLS		RMM	
Boundary	Lower	Upper	Lower	Upper	Lower	Upper	Lower	Upper
Conf. Interv.(CI)	-156.87	155.72	0.238	0.372	-151.36	136.05	0.240	0.3708
Width of CI	312.60		0.134		287.42		0.130	
Coverage	0.9435		0.209		0.943		0.198	
Power	0.076		0.824		0.072		0.832	
Bias	0.705		-0.175		7.783		-0.175	
RootMSE($\hat{\beta}$)	270.58		0.244		336.78		0.245	
RootMSE	26132.2		0.842		12188.26		0.796	
Efficient	1460.536				1998.047			
	على مستوى التأثير 0.59 عند ثابت التوليف Tuning constant=4.24				على مستوى التأثير 0.59 عند ثابت التوليف Tuning constant=3.42			
Method	OLS		RMM		OLS		RMM	
Boundary	Lower	Upper	Lower	Upper	Lower	Upper	Lower	Upper
Conf. Interv.(CI)	-67.47	72.94	0.368	0.639	-67.47	72.94	0.369	0.634
Width of CI	140.42		0.270		140.42		0.265	
Coverage	0.957		0.448		0.957		0.436	
Power	0.287		0.999		0.287		0.998	
Bias	-2.384		-0.155		-2.38		-0.154	
RootMSE($\hat{\beta}$)	103.55		0.218		103.55		0.219	
RootMSE	3460.22		0.835		3460.2		0.778	
Efficient	395.62				395.40			

جدول رقم (٤) حجم العينة n=100								
Method	OLS		RMM		OLS		RMM	
Boundary	Lower	Upper	Lower	Upper	Lower	Upper	Lower	Upper
Conf. Interv.(CI)	-200.39	178.25	0.2233	0.360	-246.52	293.02	0.229	0.3591
Width of CI	378.65		0.137		539.54		0.129	
Coverage	0.978		0.169		0.978		0.165	
Power	0.022		0.844		0.021		0.848	
Bias	11.19		-0.161		-23.12		-0.164	
RootMSE($\hat{\beta}$)	271.07		0.186		713.63		0.189	
RootMSE	37585.8		0.849		53609.7		0.794	
Efficient	1123.60		2791.3					
	على مستوى التأثير 0.59 عند ثابت التوليف Tuning constant=4.24		على مستوى التأثير 0.59 عند ثابت التوليف Tuning constant=3.42					
Method	OLS		RMM		OLS		RMM	
Boundary	Lower	Upper	Lower	Upper	Lower	Upper	Lower	Upper
Conf. Enter.(CI)	728.89	1015.9	1737.5	1743.9	733.80	1072.9	1737.4	1744.1
Width of CI	287.04		6.458		339.166		6.661	
Coverage	0.737		0.434		0.737		0.444	
Power	0.502		1		0.501		1	
Bias	868.260		-0.091		837.28		-0.098	
RootMSE($\hat{\beta}$)	1115.69		2,151		1365.69		2,152	
RootMSE	9769,15		0,839		18719,5		0,838	
Efficient	1219,023		2155,613					

أما الجدول (٣) أعلاه وعند حجم العينة $n=100$ كانت نتائجه مماثلة إلى نتائج الجدول (١) وحتى من حيث الكفاءة النسبية للمقدرين مع تساوي نسبة الكفاءة تقريباً عند مستوى حجم التأثير عند ثابت التوليف $a = 3.42$.

والجدول (٤) أعلاه والذي يمثل مقارنة المقدرين عند حجم العينة $n=500$ فقد كانت النتائج تبين تفوق مقدر RMM على مقدر OLS ولجميع مقاييس التقييم. كما يوضح الجدول زيادة الكفاءة النسبية عند ثابت التوليف $a = 3.42$ أكثر مما هو الحال عند ثابت التوليف

$$a = 4.24$$

جدول رقم (٥) متواسط جداول دراسة المحاكاة								
	على مستوى التلوث 40% عند ثابت التوليف Tuning constant=4.24				على مستوى التلوث 40% عند ثابت التوليف Tuning constant=3.42			
Method	OLS		RMM		OLS		RMM	
Boundary	Lower	Upper	Lower	Upper	Lower	Upper	Lowe r	Upper
Conf. Interv.(CI)	-111.61	204.38	108.67	109.3	-461.89	379.83	108.6	109.32
Width of CI	315.997		0.647564		841.735		0.657979	
Coverage	0.960375		0.617669		0.960094		0.604016	
Power	0.163083		0.722529		0.164813		0.726136	
Bias	62.51465		-0.09435		149.9294		-0.09459	
RootMSE($\hat{\beta}$)	574.308		0.28905		3872.049		0.290767	
RootMSE	12274.18		0.8734		34695.82		1.041216	
Efficient	2878.192				13328.83			

ولتوضيح دراسة المحاكاة هذه بشكل إجمالي يمكن ملاحظة الجدول (٥) أدناه، إذ إنَّ هذا الجدول يمثل متوسط الجداول ولجميع التراكيب ويُعد بمثابة توضيح إجمالي لعملية المحاكاة ونتائجها. إذ يلاحظ من هذا الجدول أن مقدر RMM أفضل من مقدر OLS ولجميع مقاييس التقييم حتى بالنسبة إلى ثابت التوليف $a = 3.42$ مقارنةً بثابت التوليف $a = 4.24$ مما يدل على زيادة كفاءة المقدار المقترن بشكل أكبر. كما أن الجدول يوضح حدود الثقة لمقدار الحرف الحصين كانت لا تتضمن الصفر على عكس المربعات الصغرى وعند كلا ثابتي التوليف $a = 3.42$ و $a = 4.24$ مع أن في عملية توليد البيانات تم جعل المتغير M متغير توسيطي من خلال إدخاله في السلسلة السببية بين X و y ، وبوساطة كاملة. فضلاً عن ذلك أظهر مقدار المربعات الصغرى انه يمتلك تغطية أكبر في حدود الثقة مقارنةً بمقدار الحرف إلا أن هذا وكما تم ذكر ذلك مسبقاً لا يعتبر قصوراً لمقدار RMM إذ إنَّ مقياس السعة ومقياس التغطية هما مقياسان متعارضان ولكن من المفضل هو أن تكون سعة حدود الثقة أقل سعة من أجل الحصول على مقدار أكثر دقة (Krantz, 1999).

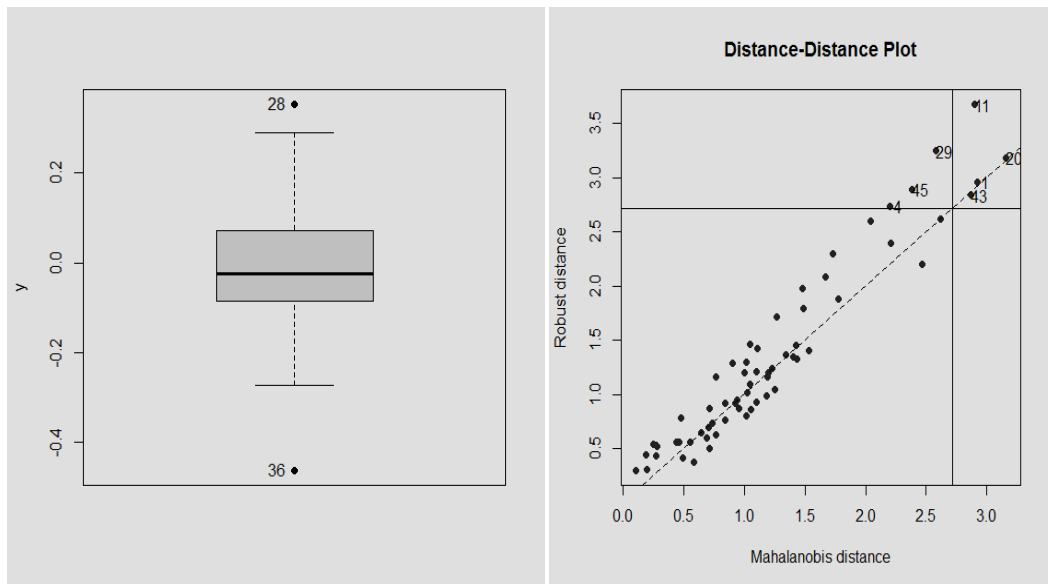
يتضح مما سبق أن مقدار الحرف الحصين قد اثبتت كفاءته مقارنةً بالمربعات عند استخدامه في تحليل الوساطة ولكافحة مقاييس التقييم، إذ إنَّ هذا المقدار عالج القيم الشاذة الموجودة في المتغيرات من خلال استخدام مقدرات MM الحصينة، كما انه عالج مشكلة التداخل الخطير الموجود بين المتغيرات والتي تكون هذه المشكلة موجودة ضمنياً في نماذج تحليل الوساطة والسبب يعود إلى تصميم النماذج التي تعتمد عليها نماذج الوساطة في تقدير التأثير التوسيطي.

ب- تحليل بيانات الدراسة الحقيقة

تمثل الجانب العملي الثاني في استخدام بيانات حقيقة تم جمعها من مستشفى السلام بالموصل. إذ تم جمع بيانات عن ثلاثة متغيرات، إذ إنَّ المتغير الأول والذي هو المتغير X كان يمثل العمر (Age) والمتغير الثاني والذي هو المتغير التوسيطي M كان يمثل الوزن (weight) والمتغير الثالث والذي هو المتغير التابع y كان يمثل ضغط الدم الانقباضي (SBP) systolic blood pressure. إذ تم جمع هذه البيانات من 71 شخص.

وقد تم الكشف عن القيم الشاذة باستخدام الرسم الصندوقى (Boxplot) للمتغير التابع y وقد ظهر أن هناك قيمتان متطرفتان وهما 28 و 36 في هذا المتغير وكما موضح بالشكل (٤).

كما تم إجراء اختبار باستخدام MVE (Minimum Volume Ellipsoid estimator) كما تم إجراء اختبار باستخدام MVE (Minimum Volume Ellipsoid estimator) كما تم إجراء اختبار باستخدام MVE (Minimum Volume Ellipsoid estimator) والموضح بالشكل (٥) إذ نلاحظ أن هناك قيم قوة رافعة (Leverage Points) في مصفوفة المتغيرين المستقل والتوسيطي وهي (4,11,20,29,43,45)، لاحظ الشكل (٥).



شكل رقم (٤)
رسم الا boxplot للمتغير

شكل رقم (٥)
يوضح قيمة الرفع في مصفوفة المتغيرات التوضيحية X

أما التداخل الخطي فقد تم إجراء اختبار t على معامل الارتباط بين المتغيرين X و M وكانت قيمة $p = 0.000$ ، وبمقارنتها مع قيمة $\alpha = 0.05$ يلاحظ إنها أقل، أي إنَّ الاختبار معنوي مما يدل على إنَّ هناك ارتباط معنوي بين المتغيرين.

كما تم استخدام أسلوب العدد الشرطي الموضح في المعادلة (27) وكانت نتيجة العدد الشرطي $C.N. = 4.21$ وهو أكبر من الواحد الصحيح مما يدل على وجود تداخل خطى بين المتغيرين. كما انه يعتبر من التداخل الخطي الضعيف (Lawrence & Arthur, 1990)، وهذا يكون أكثر خطورة وذلك لضعف الارتباط بينما هو في الحقيقة يؤثر على المقدرات.

وأخيرا تم استخدام اختبار Farrar-Glauber الموضح في المعادلة (28) ووجد أن قيمة $p = 0.000$ ، وبمقارنتها مع قيمة $\alpha = 0.05$ ، يلاحظ إنها أقل مما يعني رفض العدم وقبول البديلة أي أن المتغيرات ليست متعامدة (غير مستقلة). وقد كانت الفرضية المستخدمة في اختبار معنوية التأثير التوضيحي :

$$H_0 : ab = 0 , H_1 : ab \neq 0$$

وباستخدام أسلوب RMM وكذلك المربعات الصغرى في إيجاد حدود الثقة للتأثير التوضيحي، فضلاً عن إيجاد سعة حدي الثقة للأسلوبين ومتوسط مربعات الخطأ والكفاءة من خلال قسمة جذر متوسط مربعات الخطأ للمربعات على جذر متوسط مربعات الخطأ لأسلوب RMM، فإن النتائج الموضحة في الجدول (٦) كانت تشير إلى مدى تفوق أسلوب RMM عن أسلوب المربعات الصغرى في اختبار التأثير التوضيحي. كما يمكن ملاحظة أن حدود الثقة لأسلوب RMM كانت لا تتضمن الصفر في حدودها مما يدل على معنوية التأثير الغير مباشر أي ان

المتغير الوسطي والمتمثل بالوزن هو يتوسط العلاقة فعلاً بين المتغير التبؤي والمتمثل بالعمر والمتغير التابع والمتمثل بضغط الدم وهذا يتطابق مع الناحية الطبية، على عكس حدود الثقة لأسلوب المربعات الصغرى والذي تضمن الصفر مما يدل على عدم معنوية التأثير الوسطي وهذا مقياس جيد على تفوق أسلوب RMM كونه قد فسر السلسلة السببية من المتغير التوضيحي إلى المتغير الوسطي إلى المتغير التابع.

جدول رقم (٦)								
جدول يوضح نتائج دراسة بيانات مستشفى السلام في الموصل								
	على مستوى التلويث 40% عند ثابت التوليف Tuning constant=4.24				على مستوى التلويث 40% عند ثابت التوليف Tuning constant=3.42			
Method	OLS		RMM		OLS		RMM	
Boundary	Low er	Upper	Low er	Upper	Lower	Upper	Low er	Upper
Conf. Interv.(CI)	- 0.06 8	0.277	0.01 9	0.209	- 0.068	0.277	0.04 0	0.22 3
Width of CI	0.345		0.189		0.345		0.1827	
RootMSE	0.110		0.073		0.110		0.065	
Efficient	2.268				2.848			

الاستنتاجات والتوصيات

الاستنتاجات:

من خلال ما تقدم يلاحظ ما يلي:

- إنَّ أسلوب RMM قد تفوق على أسلوب المربعات الصغرى وفي جميع حالات التلويث وجميع حالات التأثير ولمختلف أحجام العينات.
- إنَّ عملية تقليل ثابت التوليف a في المرحلة الثالثة للمقدر MM من 4.24 إلى 3.42 أدى إلى زيادة الكفاءة النسبية للأسلوب المقترن RMM والذي أدى بدوره إلى تقدير التأثير الوسطي بشكل أدق في عملية الوساطة.
- إنَّ نتائج هذا البحث أثبتت أنَّ أسلوب التوزيع المحاذبي إلى التوزيع الطبيعي يمكن الاعتماد عليه في حالة معالجة مشاكل التحليل الوسطي والمتمثلة بالقيم الشاذة والتدخل الخطى، وليس كما تشير معظم البحوث ولاسيما البحوث المتعلقة بعلم النفس والتي تناولت تحليل الوساطة بشكل واسع، إذ تشير هذه البحوث إلى ضعف أسلوب التوزيع المحاذبي المقترن قبل (Sobel, 1982) كونه يتطلب أحجام عينات كبيرة، ولكن كما هو واضح

فإن هذا الأسلوب المحاذي قد أثبت كفاءة حتى مع أحجام العينات الصغيرة؛ وذلك لأنه تم معالجة الانتهاكات التي حدثت في فروض النموذج الخطي.

التوصيات:

إنَّ التوصيات التي يوصى بها في هذا البحث هي كما يلي:

- ١- الاهتمام بمسألة وجود التداخل الخطي في نماذج التحليل التوسيطى والتي تؤدي إلى نتائج غير دقيقة.
- ٢- الاهتمام بالتحقق من وجود القيم الشاذة في البيانات ومعالجة تأثيراتها بمقدرات حصينة ذات نقطة انهايارة عالية وكفاءة نسبية عالية أيضاً مثل مقدرات MM وثبات توليف $a = 3.42$.
- ٣- استخدام أسلوب التوزيع المحاذي إلى التوزيع الطبيعي في تحليل الوساطة ولكن بعد معالجة المشاكل التي تم ذكرها في التوصيتين المذكورتين أعلاه.

المصادر

اولاً: العربية

- ١- كاظم، اموري هادي. ٢٠٠٢. القياس الاقتصادي المتقدم، النظرية والتطبيق. المكتبة الوطنية.
- ٢- المشهداني، محمود حسن و هرمز ، امير حنا.(١٩٨٩)، الإحصاء. جامعة بغداد.
- ٣- لقاء علي محمد وأفراح كاظم جويد، ٢٠١٠ . مقارنة المقدرات الحصينة في أسلوب التحليل العاملی. المجلة العراقية للعلوم الإحصائية. [ص ٢٢٦-٢٠٧].

ثانياً: الأجنبية

- 4- Alwin, D. F., & Hauser, R. M. (1975). The decomposition of effects in path analysis. American Sociological Review, 40, 37–47.
- 5- Askin R G and Montgomery D. C.(1980). Augmented robust estimators Technometrics.; 22: 333-341.
- 6- Beasley T. Mar.(2012). Power of Product Tests of mediation as a Function of Mediator Collinearity. Multiple Linear regression Viewpoints. Vol. 38(2).
- 7- Belsley, D., Kuh, E., and Welsh, R. E., (1980). Regression Diagnostics. Wiley, New york.
- 8- Bentler, P. M. (1997). EQS for Windows (Version 5.6) [Computer software]. Encino, CA: Multivariate Software.
- 9- Bianco, A. M., M. Garcia Ben and V. J. Yohai (2005). 'Robust estimation for linear regression with asymmetric errors.' The Canadian Journal of Statistics, Vol. 33, No. 4, pp. 511-528.

- 10- Carter, N. J., Schwertman, N. C., and T. L. Kiser.(2009) A comparison of two boxplot methods for detecting univariate outliers which adjust for sample size and asymmetry. *Statistical Methodology*, 6(6):604–621.
- 11- Emily E Ricotta, Marc Boulay, Robert Ainslie, Stella Babalola, Megan Fotheringham, Hannah Koenker and Matthew Lynch1.(2015). The use of mediation analysis to assess the effects of a behaviour change communication strategy on bed net ideation and household universal coverage in Tanzania .*Malaria Journal* 14:15.
- 12- Fairchild, A.J., & MacKinnon, D.P. (2009). A General Model for Testing Mediation and Moderation Effects. *Prevention Science*, 10, 87-99. doi:10.1007/s11121-008-0109-6; [URL](#).
- 13- Fisher, J. C. and Mason, R. L.,(1981). The Analysis of Multicollinear data in criminology, Acadmic Press, Inc.
- 14- Folmer, H. (1981). Measurement of the effects of regional policy instruments by means of linear structural equation models and panel data. *Environment and Planning A*, 13, 1435–1448.
- 15- Freedman, L. S., & Schatzkin, A. (1992). Sample size for studying intermediate endpoints within intervention trials or observational studies. *American Journal of Epidemiology*, 136, 1148–1159.
- 16- Guralnik, D. B. (Ed.) (1970). Webster's new world dictionary of the American language (2nd ed.). New York: The World Publishing Company.
- 17- Hadi, A. S. and J. S. Simonoff (1993). 'Procedures for the Identifi_cation of Multiple Outliers in Linear Models.' *Journal of the American Statistical Association*, Vol. 88, No. 424, pp.1264-1272.
- 18- Harlow, L. L., Mulaik, S. A., & Steiger, J. H. (1997). What if there were no significance tests? Mahwah, NJ: Lawrence Erlbaum Associates.
- 19- Hoerl, A. E. & Kennard, R.W. (1970). Ridge regression: Biased estimation for nonorthogonal problems. *Technometric*. 12(1):55-67.
- 20- Hoerl, A. E. and K. F. Baldwin.(1975). Ridge Regression: Some Simulations. *Communications in Statistics.*; (4): 104-123.
- 21- Hoyle, R. H., & Kenny, D. A. (1999). Sample size, reliability, and tests of statistical mediation. In R. H. Hoyle (Ed.), *Statistical strategies for small sample research* . 195–222. Thousand Oaks, CA: Sage.
- 22- Joreskog, K. G., & Sorbom, D. (2001). LISREL (Version 8.5) [Computer software]. Chicago: Scientifi c Software International.
- 23- Judd, C. M., & Kenny, D. A. (1981a).Estimating the effects of social interventions. CAMBRIDGE UNIVERSITY PRESS.
- 24- Judd, C. M., & Kenny, D. A. (1981b). Process analysis: Estimating mediation in treatment evaluations. *Evaluation Review*, 5, 602–619.

- 25- Krantz, D. H. .(1999). The null hypothesis testing controversy in psychology. *Journal of the American Statistical Association*, 44, 1372–1381.
- 26- Lawrence D. Kenneth and Arthur L. Jeffrey.(1990).Robust Regression Analysis and Applications. Marcel Dekker, INC.
- 27- Mackinnon P. David and Fairchild J. Amanda.(2009). Current Directions in Mediation Analysis, Association for Psychological Science Volume 18-Number 1.
- 28- Mackinnon P. David.(2008). Introduction to Statistical Mediation Analysis. Taylor & Francis Group, LLC.
- 29- MacKinnon, D. P., Lockwood C. M., Hoffman, J. M., West, S. G., & Sheets, V.(2002). A comparison of methods to test mediation and other intervening variable effects. *Psychological Methods*, 7, 83–104.
- 30- MacKinnon, D. P., Lockwood, C. M., & Williams, J. (2004). Confidence limits for the indirect effect: Distribution of the product and resampling methods. *Multivariate Behavioral Research*, 39, 99–128.
- 31- Mansfeld, E. R. ,Webster, J. T. and Gunst, R. F.,(1977). An Analytic Variable Selection Techniques for principle component Regression. *Applied statistics*, Vol. 26, No. 1. 34-40.
- 32- Olive, D. J. and D. M. Hawkins (2008). 'The Breakdown of Breakdown' [Online]. URL <http://www.math.siu.edu/olive/ppbdbd.pdf> .
- 33- Pati K. Dano, Robiah Adnan and Rasheed B. Abdulkadir .(2014). Using Ridge Least Median Squares to Estimate the Parameter by Solving Multicollinearity and Outliers Problems. *Nature and Science*;12(11).
- 34- Peng Ding and Tyler J. Vander Weele.(2016). Sharp sensitivity bounds for mediation under unmeasured mediator-outcome confounding.math.st.20. [Online]. <http://arxiv.org/abs/1601.05155v1>
- 35- Pfaffenberger, R.C. and Dielman, T.E. 1990. Acomparison of regression estimators when both multicollinearity and outliers are present. Edit by: Arthur, Marcel Dekker, Inc. New York and Basel.
- 36- Preacher J. Kristopher and James P. Selig.(2012). Advantages of Monte Carlo Confidence Intervals for Indirect Effects. *Communication Methods and Measures*, 6:77–98.
- 37- Rousseeuw, P. J. (1983), Multivariate Estimation With High Breakdown Point, paper presented at Fourth Pannonian Symposium on Mathematical Statistics and Probability.
- 38- Rousseeuw, P. J. and V. J. Yohai (1984). 'Robust regression by means of S-estimators.' Robust and Nonlinear Time Series Analysis, eds. J. Franke, W. Härdel, and D. Martin. New York: Springer-Verlag, pp. 256-272.
- 39- Rousseew P.J., and A.M. Leroy.(1987). Robust Regression and Outlier Detection. Wiley- Interscience, New York.

- 40- Samkar, Hatice and Alpu, Ozlem.2010.Ridge Regression Based on some Roubest Estimators. Journal of Modern Applied Statistical Methods. Vol. 9, No. 2, 495-501.
- 41- Sobel, M. E. (1982). Asymptotic confidence intervals for indirect effects in structural equation models. Sociological Methodology, 13, 290–312.
- 42- Stuart,Catherine.(2011).RobustRegression.(<http://www.maths.dur.ac.uk/ug/projects/highlights/cm3/stuart Robust Regression report.pdf>).
- 43- Tofughi, D. , Mackinnon, P. David and Yoon M.,(2009). Covariances between regression coefficient estimates in a single mediator model. British Journal of Mathematical and Statistical Psychology, 62, 457–484.
- 44- Yohai, V.J. (1987). .High Breakdown-point and High Efficiency Estimates for Regression., The Annals of Statistics 15, 642.65.
- 45- Zahari, Siti Meriam Mohammad said Zainol and Muhammad Iqbal al-Banna bin Ismail. (2012) Weighted Ridge MM-Estimator in Robust Ridge Regression with Multicollinearity. Mathematical Models and Methods in Modern Science; ISBN:978-1-61804-106-7.
- 46- Zhang, Z., & Wang, L. (2008). Methods for evaluating mediation effects: Rationale and comparison., New trends in psychometrics (pp. 595–604). Tokyo, Japan: Universal Academy Press.